

# I-100 有限帶板法による薄肉構造物の局部変形解析

大阪大学大学院 学生員 森 寛司  
 大阪大学工学部 正員 前田 幸雄  
 長岡技術科学大学 正員 林 正

## 1. まえがき

有限帶板法は長手方向に単純な形状を有する薄肉構造物の解析には極めて効率的な解析方法である。しかし、一般的の薄肉構造物は多数の補助材を有しているので、荷重状態によっては局部的な変形が生じる。したがって、従来の構造物全体の変形モードのみを用いた有限帶板法では、これらの補助材間での局部的な変形を表わすことは困難である。そこで、本研究では従来の全体モードのみを用いた有限帶板法に各パネルにおいて局部的な変形を表わすモードを附加した有限帶板法<sup>1)</sup>を定式化を行なった。この改良された有限帶板法を用いれば数少ない展開項で局部的な変形を求めることができる。

## 2. 变位関数

解析仮定は通常の有限帶板法と同じであるが、節線の自由度はひずみの連続性を考慮してx方向に級数展開された各変位成分に対してx, y, z軸方向の変位u, v, wとともにyに因する微係数

$$\Psi = \frac{\partial u}{\partial y} \quad \psi = \frac{\partial v}{\partial y} \quad \theta = \frac{\partial w}{\partial y} \quad (1)$$

の6自由度とする<sup>2)</sup>。さらに、局部変形を表わすため附加的自由度として各パネル内における局部モードのz軸方向変位を加えると第Mパネルにおける変位関数は次式で与えられる。

$$u = f_1 \sum_m d_m \cos \frac{m \pi x}{l}, \quad v = f_2 \sum_m d_m \sin \frac{m \pi x}{l} \quad (2)$$

$$w_M = f_3 \sum_m d_m \sin \frac{m \pi x}{l} + \sum_p \hat{w}_{Mp} \left\{ \frac{1}{2} \left( 1 - \cos \frac{2 p \pi z}{a_y} \right) \right\} \left[ \frac{1}{2} \left( 1 - \cos \frac{2 p \pi z}{b} \right) \right] \quad (3)$$

ここに、 $d_m$ は級数展開された全体モードの*i*,  $\hat{w}_{Mp}$ は第*M*パネルにおいて級数展開された局部モードの節点変位の第*p*項である。また、式(2), (3)で用いられたベクトル $f_i$ は全体モードのyに因する形状関数である。

局部モードは式(3)の右辺の第2項によって表わされる。ここで用いられていの局部モードの形状関数は、パネルの境界上で局部モードの変位成分を恒等的に零にする。よって、各帶板要素の平衡方程式において内部自由度として容易に消去することができる。

## 3. 平衡方程式

Kirchhoffの仮定により、ひずみの3成分 $\epsilon_{xz}$ ,  $\epsilon_{yz}$ ,  $\epsilon_{xy}$ は無視できる。非線形項としてv, wの2次項まで採用すれば残りの3成分は次式で与えられる。

$$\epsilon_x = \frac{\partial u}{\partial x} - z \frac{\partial^2 u}{\partial x^2} + \frac{1}{2} \left\{ \left( \frac{\partial v}{\partial x} \right)^2 + \left( \frac{\partial w}{\partial x} \right)^2 \right\}, \quad \epsilon_y = \frac{\partial v}{\partial y} - z \frac{\partial^2 v}{\partial y^2} + \frac{1}{2} \left\{ \left( \frac{\partial u}{\partial y} \right)^2 + \left( \frac{\partial w}{\partial y} \right)^2 \right\}, \quad \epsilon_{xy} = \frac{\partial u}{\partial y} + \frac{\partial v}{\partial x} - 2z \frac{\partial^2 w}{\partial x \partial y} + \left( \frac{\partial v}{\partial x} \right) \left( \frac{\partial w}{\partial y} \right) + \left( \frac{\partial u}{\partial y} \right) \left( \frac{\partial w}{\partial x} \right) \quad (4)$$

仮想仕事の原理により各帶板要素の平衡方程式を導くと、以下のようになる。

$$\sum_M \sum_n \left\{ k_{11}^M(m, n) \right\} d_n + \sum_M \sum_q \left\{ k_{12}^M(m, q) \right\} \hat{w}_{Mq} = f_m \quad (m = 1, 2, \dots) \quad (5)$$

$$\sum_n \left\{ k_{21}^M(p, n) \right\} d_n + \sum_q \left\{ k_{22}^M(p, q) \right\} \hat{w}_{Mq} = f_{Mp} \quad \begin{cases} M = 1, 2, \dots \\ p = 1, 2, \dots \end{cases}$$

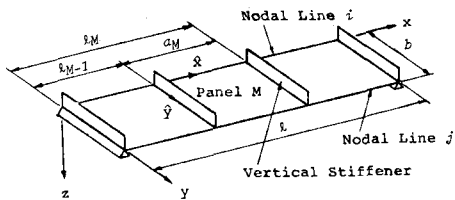


図-1 帯板要素

ここに,  $\delta_m$  は全体モードの節線変位  $d_m$  に対応した等価節線力であり,  $\hat{\delta}_{Mp}$  は局部モードの節点変位  $\delta_{Mp}$  に対応した等価節点力である。次に,  $K$  は全体モード, 局部モードの全級数和,  $K_m$  は全パネルについての総和を示す。

局部モードはパネル間で連成することはないので, 式(5)から局部モードの節線変位  $\delta_{Mp}$  を消去するための演算は各パネルごとに行なうことができ, 大きなサイズの行列演算を必要としない。局部モードを消去すると帶板要素の平衡方程式は全体モードの各項に対して次式で与えられる。

$$Q_m = \sum_n (K_{mn}) d_m \quad (6) \quad K_{mn} = \sum_M (k_{11}^M(m,n) - (k_{12}^M(m,p)) (k_{22}^M(p,q))^{-1} (k_{21}^M(p,n)), \quad Q_m = f_m - \sum_M (k_{12}^M(m,p)) (k_{22}^M(p,q))^{-1} \hat{f}_{Mp} \quad (7)$$

この局部モードを消去した平衡方程式を用いれば, 構造物全体の平衡方程式の組み立てには全体モードの節線変位のみを考えるだけでよく方程式を解くための計算は著しく節約されることになる。

式(5)の剛性行列の要素の線形項を以下に示すが,  $k_{ij}^M(m,n)$  の線形項は従来の有限帶板法の剛性行列と同じものとなるのでここでは省略した。ここに,  $E$  はヤング率,  $\nu$  はボアン比,  $t$  は板厚を表す。

$$k_{21}^M(p,n) = \{ k_{12}^M(n,p) \}^T = \frac{Et^3}{48(1-\nu^2)} \left\{ \begin{array}{c|cc} 0 & h_1 & h_2 \\ \hline h_1 & -\frac{b}{2}A & h_2 = -\left(\frac{b^2}{12} - \frac{1}{\beta_p^2}\right)A - \nu(B+C) + \frac{1-\nu}{2}D \end{array} \right. , \quad (8)$$

$$k_{22}^M(p,p) = \begin{cases} \frac{Et^3}{48(1-\nu^2)} \frac{a_m b}{16} (3\alpha_p^4 + 3\beta_p^4 + 2\alpha_p^2\beta_p^2) & (p=q) \\ 0 & (p \neq q) \end{cases} \quad (9)$$

$$A = \alpha_p^2 \delta_n^2 Q_{np}, \quad B = \delta_n (\cos \delta_n l_m - \cos \delta_n l_{m-1} + \delta_n Q_{np}), \quad C = \alpha_p^2 Q_{np}, \quad D = 4 \delta_n \alpha_p^2 R_{np},$$

$$Q_{np} = \int_{l_{m-1}}^{l_m} \sin \delta_n x \cos \alpha_p x dx, \quad R_{np} = \int_{l_{m-1}}^{l_m} \cos \delta_n x \sin \alpha_p x dx, \quad \alpha_p = \frac{2\pi p}{a_m}, \quad \beta_p = \frac{2\pi p}{b}, \quad \delta_n = \frac{n\pi}{\ell} \quad (10)$$

#### 4. 数値計算例

図-2に示すような断面を有する両端単純支持の箱桁橋について本研究で定式化した有限帶板法を用いて解析を行なった。スパン長は30mとし, 1.5m間隔に隔壁, 横桁, 垂直補剛材を配置してある。荷重は, 1t/m<sup>2</sup>の等分布荷重を上フランジに満載した。

計算結果を図-3, 4に示す。図-3のA, B断面は支点から14.75m, 6.75mの位置にありともに横補剛材の中間の断面である。これらより, 荷重が直接載荷されている上フランジでは, 各補剛材間でかなり大きな局部変形をしていることがわかる。これに対して, 下フランジでは, 局部変形はほとんどみられない。これは, 上フランジの補剛材間の板がパネルが面外荷重を受ける板として変形するためである。

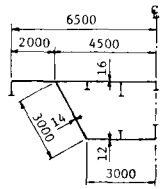


図-2 逆台形  
断面箱桁橋

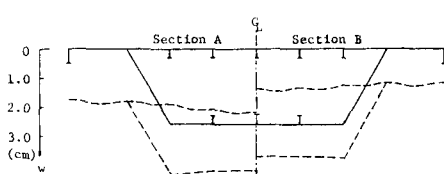


図-3 橋軸直角断面のたわみ曲線

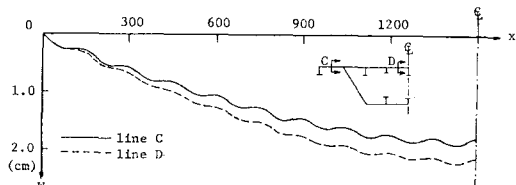


図-4 上フランジのたわみ曲線

この数値計算の結果より, 本研究で誘導した有限帶板法の計算式は補剛材を有する薄肉構造物の局部変形を表わし得ることがわかった。本研究の計算式の誘導は林健治君(大阪大学大学院)の協力を得て行なったものであり付記して謝意を表す。

1) 前田幸雄, 他: 局部モードを用いた有限帶板法, JSSC 第13回大会ストリックス解析法研究発表論文集, 1979

2) 吉田宏一郎, 他: 帯板要素による平板構造の曲げ解析, 日本造船学会論文集, 第132号, 1972